

I-8 海浜カスプの特性

高知大学農学部 正員

王 井 佐 一

1. まえがき

筆者は從来から海浜に形成されたリズミカルな波状地形、すなはちカスプの形成特にその形状と波高との海浜特性との関連性について検討することとともに、その形成機構について海浜工学的見地からも^{1), 2)}実験的に研究を進め、其の一部はすでに報告した。^{1), 2)}しかし二重の実験は波が汀線に直角に入射する場合であり、その後波が汀線に斜めに入射する場合のカスプの形成について実験を行ひ、さらに東海岸海岸での調査結果を整理し、実験結果と対比して考察を進めたので二つに報告する次第である。

2. 実験設備と実験方法および実際海岸の資料収集

まず実験は長さ20m、幅10m、水深50cmの波浪水槽の一端に中央粒径 $d_{50}=0.28\text{ mm}$ の自然砂を用いて勾配 $i_0=1/20$ の海浜斜面を作製し、波は汀線に直角に入射角 $\alpha=70^\circ$ で入射するようにした。海浜地形の変化は造波30minまたは1hrごとに砂面測定器を用いて測定し、特にカスプの形状については図-1(a), (b), (c)に示すようにスパン l_c 、高さ h_c 、幅 b_c および r_1, r_2 を測定した。しかし今回カスプの代表的な大きさを表し、またその形成機構についても波と循環流とに最も密接な関連性を有する³⁾と考えられるスパン l_c について、直角入射波の場合の結果とともにあわせて検討する。尚ほ実験波の周期 $T=1.0\sim2.2\text{ sec}$ 、波高 $H=2.2\sim8.3\text{ cm}$ 、冲波形勾配 $H_0/L_0=0.006\sim0.040$ である。一方東海岸海岸についても高知海岸、自転、土屋の大瀬海岸におけるカスプの調査結果、東大防災研の波浪観測資料、山内による常磐、外房、および以南海岸のカスプと波浪等の観測資料を再整理し考察した。

3. 結果とその考察

斜め入射波による海浜地形の変化の代表例を示したもののが図-2であり、 $l_c \text{ mean} \approx 200\text{ cm}$ 、波状河床地形が見られ、カスプが形成されている。

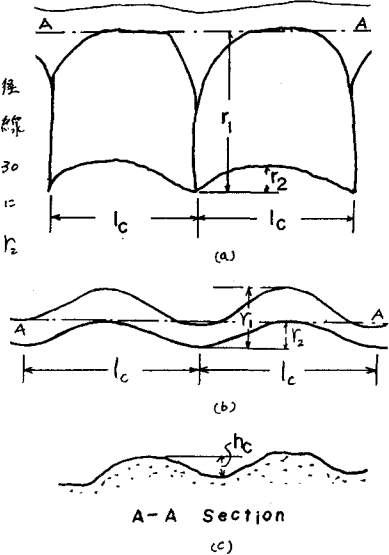
3. 斜め入射波によるカスプの形成については Harris の非規則セル循環の発生、 Sonu の蛇行域の発生などが原因として主に考慮される。二重の波についても同じく検討し、他の構造も発生したい。以上のようなく斜め入射波によつても $\alpha=70^\circ$ 程度では必ずカスプは形成されることがわかる。

さて二つあるカスプの形状特性について、今縦軸にスパン l_c と冲波帶の幅 l_B と比較 $\frac{l_c}{l_B}$

をとり、横軸には Battjes の提案した Surf Similarity parameter $\xi_0 = \frac{H}{(H_0 L_0)^{1/2}}$ をとつて図-3をようつて示す。図には直角入射波の場合、 $i_0=1/20$ の実験結果も併記してある。図の上には佐木らによつて示された小正方形波流発生の3つの領域、すなはち⁴⁾ infragravity wave (外寒波、長周期波) 領域⁵⁾、

1) 王井: 第2回海工論文集, 1974.
2) 王井: 第2回海工論文集, 33回, 土屋: 東大防災研年報, 19.0, 1974.
3) 自転, 土屋: 東大防災研年報, 18.0, 1972.

4) 山内: 海洋散策、修了論, 1959.
5) Harris: Symp., on coastal Engg.; SOUTH AFRICA, 1964.
6) Sonu: Jour. Geophys. Res., 77, 1972.



A-A SECTION

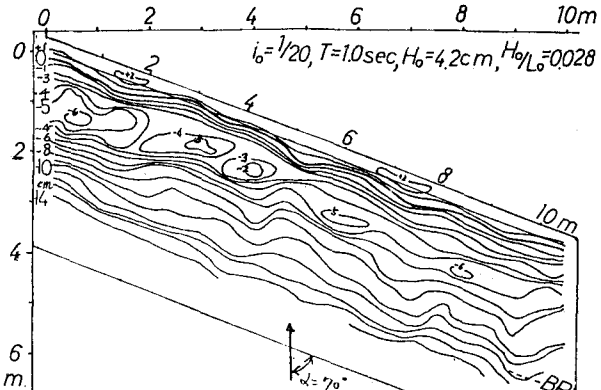


図-2. 海浜地形変化

沿岸勾配が緩やかな海に波形勾配の大きい波が来襲した時に生じ、 $\theta_0 \approx 0.23$ である。次に 1 > 1.5 は instability 領域で、海岸勾配が約 $\sim 1/40$ の海にうねりが来襲した時に生じ、 $1.2 \theta_0 \approx 0.23$ である。もう 1 > 1.8 は edge wave 領域で、海岸勾配が大きい海に波形勾配の小さな波がくさ時にも生じ、純粹の海浪流は生じにくく、 $\theta_0 > 1$ といふ。一方図の下には Galvin⁽¹⁰⁾ による碎波型の分類を示した。この実験では $\theta_0 = 1/10$ の一部を除いて多くの実験が不安定領域にあり、 l_c/L_o と θ_0 の間に右の如きに log-log 紙上で直線的傾向が見出され、しかし直角入射波の場合の $\theta_0 = 1/15$ について見ると $\theta_0 \approx 0.5$ において l_c/L_o の分布が不連続となつてあり、上記の碎波型式 ($\theta_0 < 0.5$ 前山波 < 3.3 卷き波) が $\theta_0 > 2$ カス 70° の形成条件はその形状はこのような碎波機構の相違によつても異ならない。

次に縦軸に l_c/L_o を、横軸に θ_0 をとつて図-4 に示した。斜め入射波および直角入射波とも同じ傾向が立ち、 $\theta_0 > 0.5$ では $l_c/L_o \approx 0.25 \sim 0.5$ で、 θ_0 が大きくなるにつれて l_c/L_o の値はほとんど変化しない。一方 $\theta_0 < 0.5$ では l_c/L_o が小さく < 0.5 と l_c/L_o は急激に増大し、 $\theta_0 = 2.0$ にも達することからか。³ 図には高知海岸 (S. 50.7. 30.31) 大湯海岸 (S. 49.1. 19-20) 常盤海岸 (S. 34.3-12H) 外房、内房海岸 (S. 34.8. ~12H) での beach cusp の測定値を記入した。ただし高知、大湯海岸では波はカス 70° 測定日の 1 ～ 1.5 日前日の有義波である。従来の実際海岸でのカス 70° の形態には beach cusp + large cusp の 2 種類があるが、実験ではともかく、 $\theta_0 > 0.5$ ではその形状が前段部に形成される beach cusp に、また $\theta_0 < 0.5$ ではその碎波帯附近で中心部すなわち循環域で形成される large cusp に類似している。図に見られるように実験におけるカス 70° のスパン (beach cusp) とは多少の差がある。

4. 結論 斜め入射波、特に $\alpha = 70^\circ$ 程度の入射角での波にあつては、直角入射波と同様、波状汀線地形が形成され、その形態特性も同様の傾向を有する二つのがわかった。形成機構についてはさらには複数の機序もあらねばならぬが、現在までの実験を通じ、その形態特性は碎波機構によつて異なりことがわかつた。実験におけるカス 70° のスパンと実際海岸での beach cusp のスパンとの関係が見えた。

⁽⁸⁾ Battjes : 14th coastal Engg., 1974. ⁽⁹⁾ 佐々木, 滅⁽¹¹⁾ : 第2回海工論文集, 1975. ⁽¹⁰⁾ Galvin : Jour. Geoph. Res. 73, 1968.

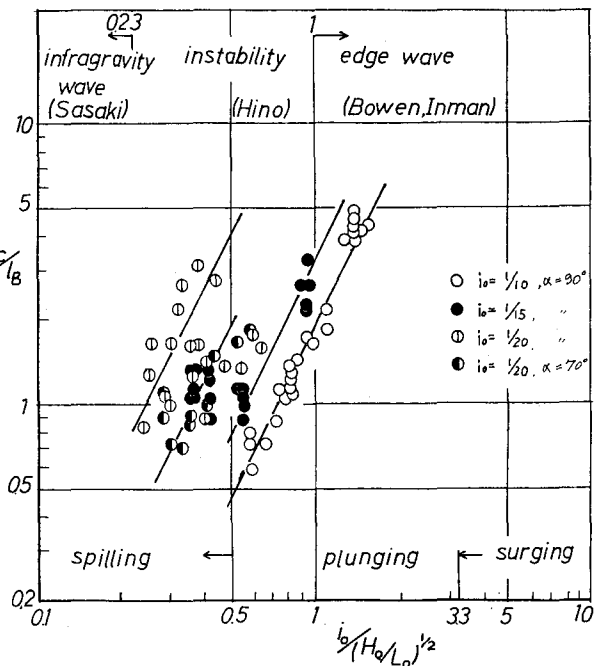


図-3 $l_c/L_o \times \theta_0 = \theta_0/(H_o/L_o)^{1/2}$ の関係

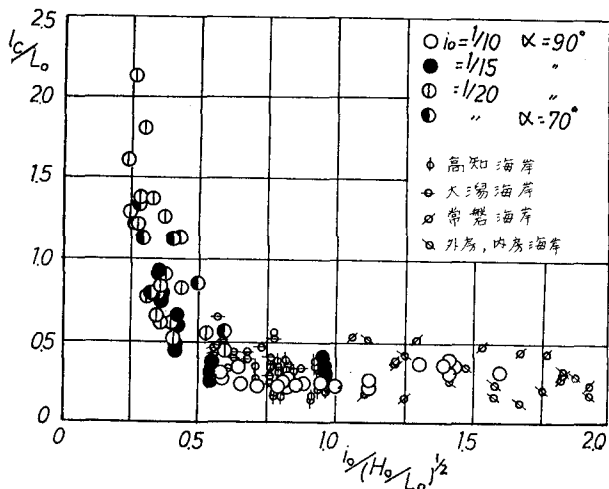


図-4. $l_c/L_o \times \theta_0 = \theta_0/(H_o/L_o)^{1/2}$ の関係。